

Федеральное государственное автономное образовательное учреждение  
высшего образования  
«Московский физико-технический институт  
(национальный исследовательский университет)»  
Физтех-школа Прикладной Математики и Информатики  
Кафедра вычислительных технологий и моделирования в геофизике и биоматематике

**Направление подготовки / специальность:** 03.03.01 Прикладные математика и физика  
(бакалавриат)

**Направленность (профиль) подготовки:** Математическое моделирование, вычислительная математика и физика

## **ВЫЧИСЛЕНИЕ НАИЛУЧШЕГО ДЕМПФИРОВАННОГО МНОГОЧЛЕНА УСТОЙЧИВОСТИ ПРИ ПОМОЩИ ТЭТА-ФУНКЦИИ**

(бакалаврская работа)

**Студент:**  
Юрченко Петр Олегович

---

*(подпись студента)*

**Научный руководитель:**  
Богатырев Андрей Борисович,  
д-р физ.-мат. наук, доц.

---

*(подпись научного руководителя)*

**Консультант (при наличии):**

---

*(подпись консультанта)*

Москва 2020

# Содержание

<b>1</b>	<b>Постановка задачи.</b>	<b>3</b>
<b>2</b>	<b>Наилучший демпфированный многочлен устойчивости.</b>	<b>4</b>
<b>3</b>	<b>Ассоциированная кривая.</b>	<b>6</b>
3.1	Топологический тип кривой. . . . .	6
3.2	Базис циклов. . . . .	6
3.3	Голоморфные дифференциалы и матрица периодов. . . . .	8
3.4	Якобиан. . . . .	8
3.5	Отображение Абеля-Якоби. . . . .	10
3.6	Ассоциированный дифференциал. . . . .	10
3.7	Уравнения Абеля. . . . .	11
<b>4</b>	<b>Тэта-функции Римана.</b>	<b>12</b>
4.1	Определение и свойства. . . . .	12
4.2	Преобразование и вычисление тэта-функции. . . . .	14
<b>5</b>	<b>Система уравнений и ее запись в терминах тэта-функций.</b>	<b>15</b>
<b>6</b>	<b>Результаты.</b>	<b>18</b>

# 1 Постановка задачи.

Рассмотрим задачу Коши для дифференциального уравнения:

$$\frac{du}{dt} = Au, \quad (1)$$

$$u|_{t=0} = u_0, \quad 0 \leq t \leq T$$

где  $A$  - линейный оператор на евклидовом пространстве  $X$ .

Для решения таких задач применяются неявный и явный методы Рунге-Кутты, в частности методы Эйлера:

- Неявный:

$$u_{k+1} = (I - \tau_{k+1}A)^{-1}u_k, \quad (2)$$

- Явный:

$$u_{k+1} = (I + \tau_{k+1}A)u_k, \quad (3)$$

где  $\tau_i$  -  $i$ -ый шаг итерации метода.

При построении  $n$ -стадийных явных устойчивых методов Рунге-Кутты используется функция  $R_n(x) = \prod_{i=1}^n (1 - \tau_i x)$ , называемая многочленом устойчивости. Тогда справедлива:

**Теорема 1.** Метод Рунге-Кутты имеет порядок аппроксимации  $l$  тогда и только тогда, когда многочлен устойчивости имеет вид

$$R_n(x) = 1 + x + x^2/2! + \dots + x^l/l! + O(x^{l+1}) \quad (4)$$

Итак, для построения метода Рунге-Кутты используется следующая задача:

**Задача А.** Найти вещественный многочлен степени не выше  $n$ , приближающий в нуле экспоненту с порядком  $l \leq n$ , то есть имеющий вид (4), для которого отклонение  $\|R_n\|_E := \max_{x \in E} |R_n(x)| \leq 1$  на возможно большом отрезке  $E = [-L, 0]$ ,  $L > 0$ , называемом интервалом устойчивости.

Однако, такие многочлены имеют точки альтернанса, в которых они принимают значения, равные по модулю единице, что является нежелательным для практического использования. Поэтому перейдем к следующей формулировке, рассмотренной в [18], именно ей будет посвящена эта работа:

**Задача В.** Найти вещественный многочлен степени не выше  $n$ , приближающий в нуле экспоненту с порядком  $l \leq n$ , то есть имеющий вид (1), для которого отклонение  $\|R_n\|_E$  не превосходит число  $\mu$  ( $\mu < 1$ ) на отрезке  $E = [-L - \delta, -\delta]$ ,  $L > 0$  (демпфированный многочлен устойчивости).

Отрезок  $E$  сдвинут, потому что  $R_n(0) = 1$ , что противоречит условию задачи. При этом величина этого сдвига изначально неизвестна.

В работе для решения данной задачи при  $l = 3$  рассматривается подход А.Б. Богатырева, использующий переход к ассоциированной римановой поверхности, а также применение тэта-функций. Этот же метод был использован в [17] в задаче нахождения наилучшего недемпфированного многочлена устойчивости.

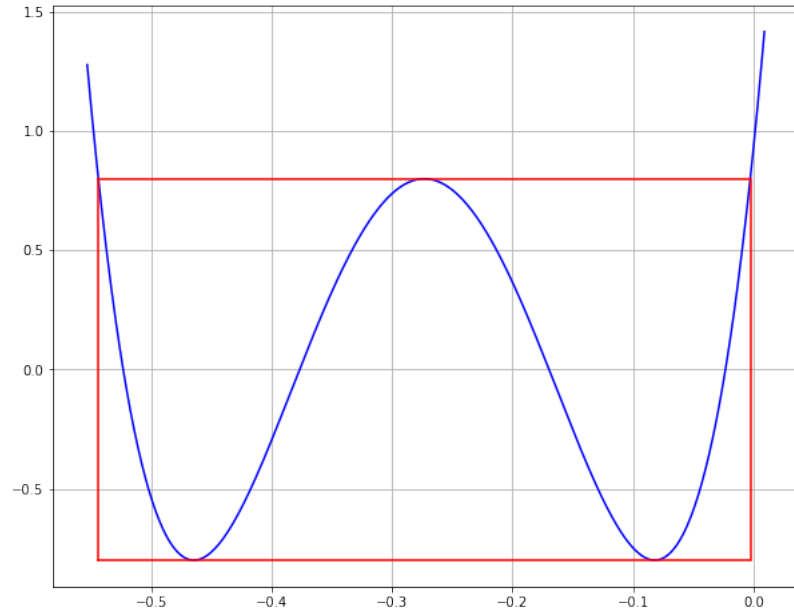


Рис. 1: Наилучший демпфированный многочлен устойчивости степени 6 с  $\mu = 0.8$ .

## 2 Наилучший демпфированный многочлен устойчивости.

Многочлен  $R_n(x)$ , удовлетворяющий условию задачи, обладает следующими свойствами:

- Он существует и единственен.
- На интервале устойчивости  $E = [-L - \delta, -\delta]$  есть  $(n + 2 - l)$  точка альтернанса, в которых многочлен принимает значения  $\pm\mu$  с чередующимися знаками.
- Многочлен имеет  $(n + 1 - l)$  действительных корней и все они лежат на интервале устойчивости.
- Производная многочлена имеет  $(n - l)$  действительных корней на интервале устойчивости (в них достигается альтернанс) и 2 комплексно-сопряженных значения.

Рассмотрим приведенный многочлен:

$$P_n(x) = \frac{R_n(-\delta + Lx)}{\mu} \quad (5)$$

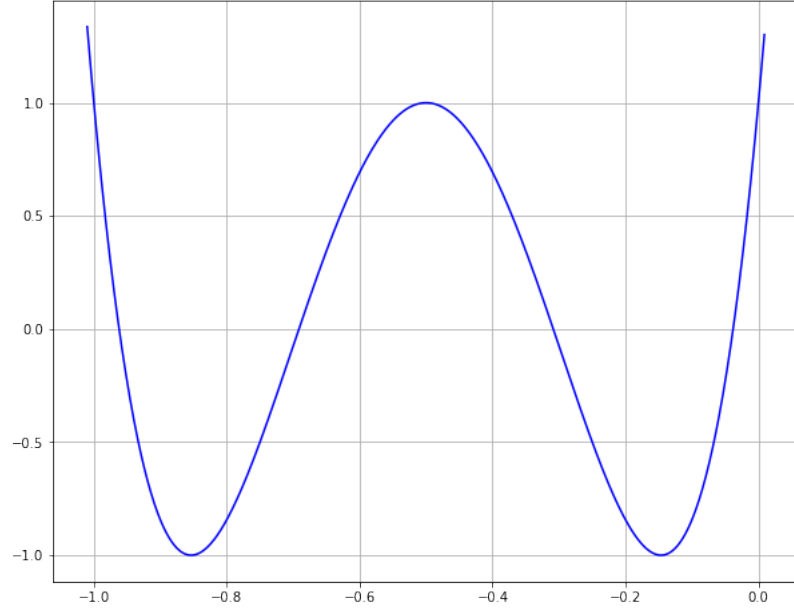


Рис. 2: Приведенный многочлен устойчивости  $P_n(x)$  степени 6.

Интервал устойчивости  $E$  перейдет в отрезок  $[-1, 0]$ , а ноль в точку  $x^* = \frac{\delta}{L} > 0$ .

Из того факта, что исходный многочлен приближал экспоненту в нуле с 3-им порядком, следует, что приведенный будет приближать ее с тем же порядком в точке  $x^*$ , то есть удовлетворять следующим условиям:

$$P_n(x^*) = \frac{1}{\mu}, \quad (6)$$

$$\frac{d^2 P_n}{dx^2}(x^*) = \left( \frac{dP_n}{dx}(x^*) \right)^2 \mu, \quad (7)$$

$$\frac{d^3 P_n}{dx^3}(x^*) = \left( \frac{dP_n}{dx}(x^*) \right)^3 \mu^2. \quad (8)$$

По приведенному многочлену можно легко восстановить исходный:

$$L = \mu \frac{dP_n}{dx}(x^*), \quad (9)$$

$$\delta = Lx^*, \quad (10)$$

$$R_n(x) = \mu P_n\left(\frac{\delta + x}{L}\right). \quad (11)$$

## 3 Ассоциированная кривая.

### 3.1 Топологический тип кривой.

**Определение.** Вещественный многочлен, все критические точки которого, за исключением  $g$  из них, простые со значениями  $\pm 1$ , называется  $g$ -экстремальным многочленом.

Такие многочлены можно описывать при помощи структуры П.Л. Чебышева:

Сопоставим нашему приведенному многочлену  $P_n(x)$  вещественную гиперэллиптическую кривую

$$M = M(\chi) = \left\{ (x, w) \in \mathbf{C}^2 : w^2 = \prod_{i=1}^{2g+2} (x - p_i) \right\}, \quad \chi := \{p_i\}_{i=1}^{2g+2}, \quad (12)$$

где  $\chi$  - нули нечетного порядка многочлена  $P_n^2 - 1$ . Заметим, что кривая допускает гиперэллиптическую инволюцию  $J(x, w) := (x, -w)$ , а также отражение  $\bar{J}(x, w) := (\bar{x}, \bar{w})$ .

Род кривой  $M$  равен  $g$ . Так как мы рассматриваем многочлен с  $l = 3$ , то нулями нечетного порядка многочлена  $P_n^2 - 1$  будут являться 2 конца отрезка  $E$ , а также две пары комплексно-сопряженных точек. Соответственно, получим, что  $P_n(x)$  — 2-экстремальный многочлен, а кривая имеет род 2.

Многочлен  $P_n(x)$  восстанавливается с точностью до знака по формуле:

$$P_n(x) = \pm \cos \left( ni \int_{(p,0)}^{(x,w)} d\eta_M \right), \quad x \in \mathbf{C}, \quad (x, w) \in M, \quad (13)$$

где  $d\eta_M$  - жестко привязанный к  $M$  абелев дифференциал 3-го рода. Он имеет вид

$$d\eta_M = (x^2 + \gamma_1 x + \gamma_2) \frac{dx}{w}. \quad (14)$$

Этот дифференциал меняет знак при гиперэллиптической инволюции кривой  $M$ , а также отражение  $\bar{J}$  переводит его в сопряженный  $d\bar{\eta}_M$ . Такие дифференциалы являются вещественными, то есть все коэффициенты  $\gamma_i$  будут вещественными.

### 3.2 Базис циклов.

На кривой выберем базис циклов  $(a_1, a_2, b_1, b_2)$  следующим образом (рис.1):

- Цикл  $a_1$  охватывает пару точек ветвления в верхней полуплоскости
- Цикл  $a_2$  получается из  $a_1$  отражением
- Цикл  $b_1$  охватывает точку ветвления верхней полуплоскости и нуль.
- Цикл  $b_2$  проходит по берегу разреза, соединяющего точку ветвления нижней полуплоскости, отражение которой не охватывается  $b_1$ , с точкой  $-1$

Такое построение базиса необходимо для выполнения следующих условий:

$$\bar{J}a_1 = a_2, \bar{J}a_2 = a_1, \bar{J}b_1 = a_1 - b_2, \bar{J}b_2 = a_2 - b_1 \quad (15)$$

Заметим, что циклы  $b_1$  и  $b_2$  определены неоднозначно: к ним может добавляться целое число циклов  $a_1$  и  $-a_2$  соответственно. Это связано с тем, что в пространстве модулей  $\mathcal{H}$  (пространстве нормированных дивизоров) есть нестягиваемая петля, обход вдоль которой приводит к перестановке точек ветвления верхней полуплоскости. Действие образующей модулярной группы  $\mathbf{Z}$  имеет вид:

$$\begin{pmatrix} a_1 \\ a_2 \\ b_1 \\ b_2 \end{pmatrix} \rightarrow \begin{pmatrix} a_1 \\ a_2 \\ b_1 + a_1 \\ b_2 - a_2 \end{pmatrix} \quad (16)$$

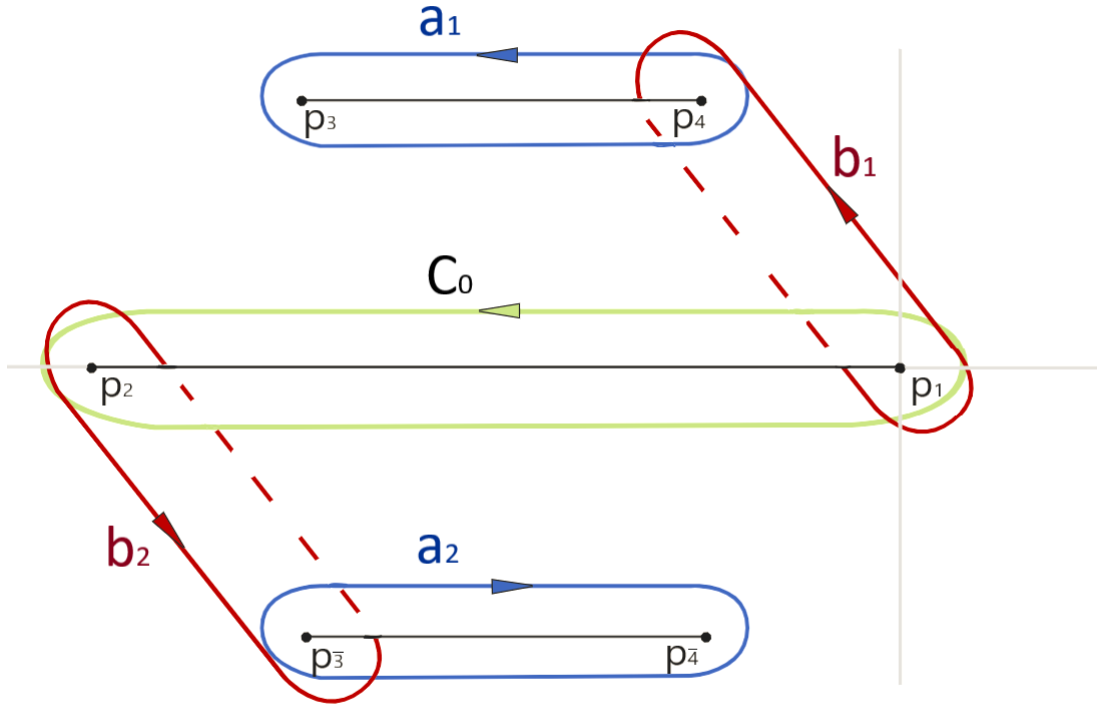


Рис. 3: Канонический базис циклов на кривой  $M$

### 3.3 Голоморфные дифференциалы и матрица периодов.

На римановой поверхности  $M$  существует два независимых голоморфных дифференциала:

$$d\zeta = \begin{pmatrix} d\zeta_1 \\ d\zeta_2 \end{pmatrix}, \quad d\zeta_i = \frac{\alpha_i x + \beta_i}{w} dx, \quad i = 1, 2 \quad (17)$$

где  $\alpha_i$  и  $\beta_i$  определяем из следующего условия нормировки:

$$\oint_{a_i} d\zeta_j = \delta_{ij} \quad (18)$$

Периоды нормированных дифференциалов  $d\zeta_i$  по циклам  $b_j$  дают матрицу периодов:

$$\Omega_{ij} = \oint_{b_i} d\zeta_j \quad (19)$$

**Лемма.** Дифференциалы при отражении  $J$  переходят друг в друга:

$$\bar{J}d\zeta_1 = \overline{d\zeta_2} \quad (20)$$

Из леммы следует утверждение:

**Следствие.** Матрица периодов  $\Omega_{sj}$  обладает следующими свойствами:

$$\Omega_{11} = -\overline{\Omega_{22}}, \quad \Omega_{12} + \overline{\Omega_{21}} = 1 \quad (21)$$

Из последнего тождества следует, что справедливо представление  $\Omega_{12} \in \frac{1}{2} + i\mathbf{R}$ . Таким образом матрица периодов  $\Omega$  зависит от трех вещественных параметров.

### 3.4 Якобиан.

**Определение.** Якобианом кривой  $M$  называется четырехмерный тор, который задается при помощи матрицы периодов  $\Omega$  следующим образом:

$$Jac(M) := \mathbf{C}^2 / L_\Omega, \quad (22)$$

где  $L_\Omega$  – решетка в  $\mathbf{C}^2$ , порождаемая векторами  $\mathbf{e}^1 = (1, 0)^T, \mathbf{e}^2 = (0, 1)^T, \mathbf{\Omega}^1 = (\Omega_{11}, \Omega_{21})^T, \mathbf{\Omega}^2 = (\Omega_{12}, \Omega_{22})^T$ .

В якобиан естественно вложены двумерные торы: вещественный  $Jac_R = (u, \bar{u}) \in Jac$  и мнимый  $Jac_I = (u, -\bar{u}) \in Jac$ . Вещественный тор якобиана порождается 2-решеткой с образующими  $(1, 1)^T$  и  $(\Omega_{11} - \Omega_{12}, \overline{\Omega_{11} - \Omega_{12}})^T$ , вложенной в плоскость  $(u, \bar{u}) \in \mathbf{C}^2$ . Мнимый тор якобиана порождается 2-решеткой с образующими  $(1, -1)^T$  и  $(\Omega_{11} + \Omega_{12}, -\overline{\Omega_{11} + \Omega_{12}})^T$ , вложенной в плоскость  $(u, -\bar{u}) \in \mathbf{C}^2$ .



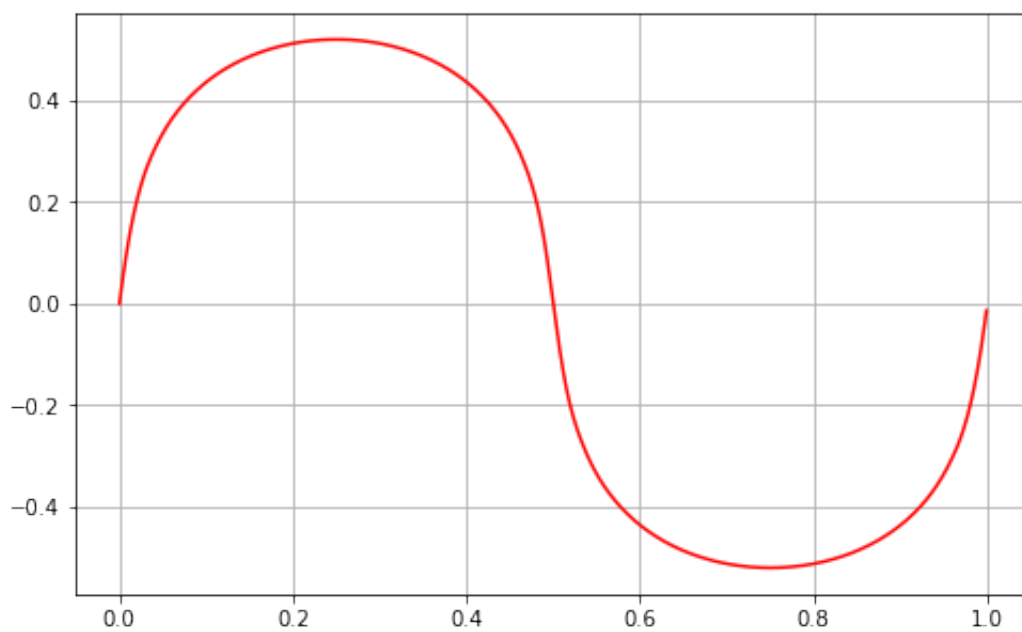


Рис. 4: Вещественный овал. Матрица периодов:

$$\Omega = \begin{pmatrix} 1,7 + 4,5i & 0,5 - 0,8i \\ 0,5 - 0,8i & -1,7 + 4,5i \end{pmatrix}$$

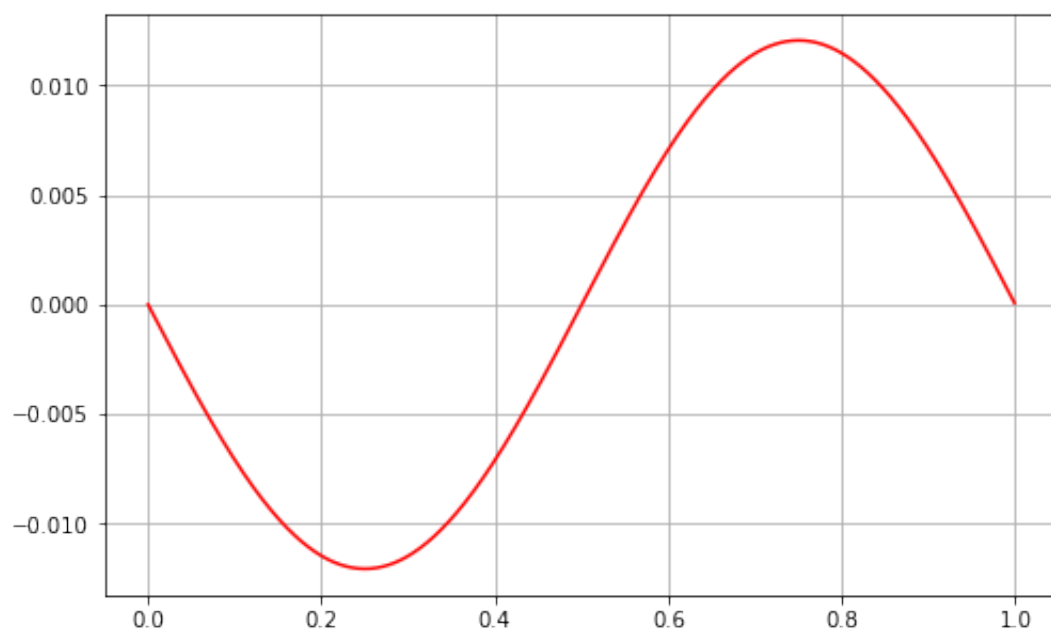


Рис. 5: Мнимый овал. Матрица периодов:

$$\Omega = \begin{pmatrix} 1,7 + 4,5i & 0,5 - 0,8i \\ 0,5 - 0,8i & -1,7 + 4,5i \end{pmatrix}$$

### 3.5 Отображение Абеля-Якоби.

Абелем и Якоби было введено отображение  $\varphi$  кривой  $M$  в ее якобиан:

$$\varphi(x, w) = \int_{(0,0)}^{(x,w)} d\zeta \mod L_\Omega \quad (23)$$

Найдем образы точек ветвления кривой  $M$  :

$$\varphi(p_2) = \frac{1}{2} \int_{a_2-a_1} d\zeta = \frac{1}{2}(-1, 1)^T = \frac{1}{2}(\mathbf{e}^1 + \mathbf{e}^2) \quad (24)$$

$$\varphi(p_4) = \frac{1}{2} \int_{b_1} d\zeta = \frac{1}{2}(\Omega_{11}, \Omega_{12})^T = \frac{1}{2}\Omega^1 \quad (25)$$

$$\varphi(p_3) = \frac{1}{2}(\Omega_{11}, \Omega_{12})^T + \frac{1}{2} \int_{a_1} d\zeta = \frac{1}{2}(\mathbf{e}^1 + \Omega^1) \quad (26)$$

$$\varphi(p_{\bar{4}}) = \frac{1}{2} \int_{\bar{b}_1} d\zeta = \frac{1}{2}(\mathbf{e}^1 + \Omega^2) \quad (27)$$

$$\varphi(p_{\bar{3}}) = \frac{1}{2} \left( \mathbf{e}^1 + \Omega^2 + \int_{a_2} d\zeta \right) = \frac{1}{2}(\mathbf{e}^1 + \mathbf{e}^2 + \Omega^2) \quad (28)$$

Вектором римановых констант называется вектор:

$$\mathcal{K} = \varphi(p_3) + \varphi(p_{\bar{3}}) = \frac{1}{2}(\Omega^1 + \Omega^2 + \mathbf{e}^2) \quad (29)$$

### 3.6 Ассоциированный дифференциал.

Если кривая порождена некоторым многочленом  $P_n(x)$ , то связанный с ней дифференциал представим в виде:

$$d\eta_M = n^{-1} d \left( \log \widetilde{P}_n(x, w) \right), \quad (30)$$

где  $\widetilde{P}_n(x, w) := P_n(x) + \sqrt{P_n^2(x) - 1}$  - функция с полюсом  $n$ -ого порядка на бесконечности  $\infty_+$  верхнего листа и нулем того же порядка на бесконечности  $\infty_-$  нижнего листа  $M$ . Действительно, так как  $\widetilde{P}_n(x, w)\widetilde{P}_n(x, -w) = 1$ , дифференциал (15) имеет только простые полюсы с вычетами  $\pm 1$  на бесконечности и чисто мнимые периоды.

### 3.7 Уравнения Абеля.

Интеграл рассмотренного выше дифференциала по любому циклу выражается через приращение аргумента функции  $\widetilde{P}_n(x, w)$  на этом цикле и, значит, лежит в  $2\pi i\mathbf{Z}/n$ . В частности,

$$\int_{b_1} d\eta_M \in 2\pi i\mathbf{Z}/n, \quad (31)$$

Для кривой  $M$ , порожденной наилучшим многочленом устойчивости, интеграл по контуру  $a_1$  можно вычислить точно. Обозначим за  $C_0$  цикл, проходящий против часовой стрелки берега разреза  $[-1, 0]$ . Многочлен

$$P_n(x) = \frac{1}{2} \left( \widetilde{P}_n(x, w) + \overline{\widetilde{P}_n(x, w)} \right) \quad (32)$$

испытывает на отрезке  $[-1, 0]$  ровно  $(n - 2)$  колебаний между  $+1$  и  $-1$ . Когда точка  $(x, w)$  пробегает по контуру  $C_0$  на римановой поверхности, значение  $\widetilde{P}_n(x, w)$ , полученное из  $P_n(x, w)$  обратным преобразованием Жуковского, огибает единичную окружность ровно  $(n - 2)$  раза против часовой стрелки. Следовательно,  $\int_{C_0} d\eta_M = 2\pi i(n - 2)/n$ . Цикл  $(C_0 + a_1 - a_2)$  стягивается к полюсу  $\infty_+$  дифференциала  $d\eta_M$ , вычет в котором равен  $-1$ . В силу вещественности дифференциала, его интегралы по  $a_1$  и  $-a_2$  равны, поэтому

$$\int_{a_1} d\eta_M = 2\pi i n^{-1} \quad (33)$$

Таким образом, полученные уравнения гарантируют, что всякий интеграл от  $d\eta_M$  по целому циклу лежит в  $2\pi i\mathbf{Z}/n$ , а значит функция  $\widetilde{P}_n(x) = \cos \left( ni \int_{(0,0)}^{(x,w)} d\eta_M \right)$  будет однозначной на римановой поверхности  $M$ .

Уравнения (31), (33) называются уравнениями Абеля. Из них следуют соотношения:

$$\begin{cases} \int_{a_1} d\eta_M = 2\pi i n^{-1}, & \int_{a_2} d\eta_M = -2\pi i n^{-1}, \\ \int_{b_1} d\eta_M = 2\pi i m n^{-1}, & \int_{b_2} d\eta_M = 2\pi i (m - n + 1) n^{-1}, \end{cases} \quad (34)$$

где  $m \in \mathbf{Z}$ . Используя билинейные соотношения Римана, данные уравнения можно переписать в терминах голоморфных дифференциалов, а следовательно и матрицы периодов:

$$\varphi(\infty_+) = \int_0^{\infty_+} d\zeta = -\frac{1}{2n} \left( (\Omega_{12}, \Omega_{22})^t + (\overline{\Omega_{22}}, \overline{\Omega_{12}})^t + (m - n)(1, 1)^t \right) \quad (35)$$

## 4 Тэта-функции Римана.

### 4.1 Определение и свойства.

**Определение.** Тэта-функция Римана является функцией  $g$  комплексных переменных и определяется рядом:

$$\theta(z, \Omega) = \sum_{n \in \mathbf{Z}^2} \exp \left[ 2\pi i \left( \frac{1}{2} n^T \cdot \Omega \cdot n + n^T \cdot z \right) \right], \quad (36)$$

где  $z \in \mathbf{C}^2, \Omega \in \mathbf{C}^{2 \times 2}$  — симметричная матрица с положительно определенной мнимой частью. Положительная определенность гарантирует сходимость ряда (36) для всех  $z$ .

**Свойства:**

- Квазипериодичность относительно сдвигов  $z \rightarrow z + u, u \in L_\Omega$ :

$$\theta(z + m, \Omega) = \theta(z, \Omega), \quad (37)$$

$$\theta \left[ \begin{smallmatrix} \varepsilon \\ \varepsilon' \end{smallmatrix} \right] (z + \Omega m, \Omega) = \exp(-\pi i m^T \Omega m - 2\pi i m^T z) \theta(z, \Omega), \quad (38)$$

$$\forall m \in \mathbf{Z}^2$$

- Тождество Римана:

$$\begin{aligned} & \theta \left( \frac{x + y + u + v}{2} \right) \theta \left( \frac{x + y - u - v}{2} \right) \theta \left( \frac{x - y + u - v}{2} \right) \theta \left( \frac{x - y - u + v}{2} \right) = \\ & = 2^{-2} \sum_{\beta \in \frac{1}{2}\mathbf{Z}^2 / \mathbf{Z}^2} \sum_{\alpha \in \frac{1}{2}\mathbf{Z}^2 / \mathbf{Z}^2} \exp[4\pi i \alpha \Omega \alpha + 2\pi i \alpha(x + y + u + v)] \times \\ & \times \theta(x + \Omega \alpha + \beta) \theta(y + \Omega \alpha + \beta) \theta(u + \Omega \alpha + \beta) \theta(v + \Omega \alpha + \beta). \end{aligned} \quad (39)$$

**Введем тэта-функцию с характеристиками:**

$$\theta \left[ \begin{smallmatrix} \varepsilon \\ \varepsilon' \end{smallmatrix} \right] (z, \Omega) = \exp(\pi i \varepsilon^T \Omega \varepsilon + 2\pi i \varepsilon(z + \varepsilon')) \theta(z + \Omega \varepsilon + \varepsilon', \Omega), \quad (40)$$

где  $\varepsilon, \varepsilon' \in \mathbf{R}^2$ . Это выражение можно переписать в виде ряда:

$$\begin{aligned} \theta \left[ \begin{smallmatrix} \varepsilon \\ \varepsilon' \end{smallmatrix} \right] (z, \Omega) &= \sum_{n \in \mathbf{Z}^2} \exp \left[ 2\pi i \left( \frac{1}{2} (n + \varepsilon)^T \cdot \Omega \cdot (n + \varepsilon) + (n + \varepsilon)^T \cdot (z + \varepsilon') \right) \right] = \\ &= \sum_{n_\varepsilon} \exp \left[ 2\pi i \left( \frac{1}{2} n_\varepsilon^T \cdot \Omega \cdot n_\varepsilon + n_\varepsilon^T \cdot z_{\varepsilon'} \right) \right], \end{aligned} \quad (41)$$

где  $n_\varepsilon = n + \varepsilon$ , а  $z_{\varepsilon'} = z + \varepsilon'$

Отметим также свойства этой функции. Они будут использоваться для тестирования программ:

- Аналогичные тождествам (37), (38) условия квазипериодичности:

$$\theta \begin{bmatrix} \varepsilon \\ \varepsilon' \end{bmatrix} (z + m, \Omega) = \exp(2\pi i \varepsilon m) \theta \begin{bmatrix} \varepsilon \\ \varepsilon' \end{bmatrix} (z, \Omega), \quad (42)$$

$$\theta \begin{bmatrix} \varepsilon \\ \varepsilon' \end{bmatrix} (z + \Omega m, \Omega) = \exp(-2\pi i \varepsilon' m) \exp(-\pi i m \Omega m - 2\pi i m z) \theta \begin{bmatrix} \varepsilon \\ \varepsilon' \end{bmatrix} (z, \Omega), \quad (43)$$

$$\forall m \in \mathbf{Z}^2$$

- Будем рассматривать только тэта-функции с характеристиками, компоненты которых принимают только значения  $1/2$  и  $0$ . Четность такой тэта-функции совпадает с четностью числа  $4\varepsilon^T \varepsilon'$

$$\theta \begin{bmatrix} \varepsilon \\ \varepsilon' \end{bmatrix} (z, \Omega) = \exp(\pi i \cdot 4(\varepsilon, \varepsilon')) \cdot \theta \begin{bmatrix} \varepsilon \\ \varepsilon' \end{bmatrix} (-z, \Omega), \quad (44)$$

- Пусть матрица  $\Omega$  удовлетворяет соотношениям (21), тогда

$$\theta \begin{bmatrix} \varepsilon \\ \varepsilon' \end{bmatrix} (z, \Omega) = \theta \begin{bmatrix} \varepsilon \\ \varepsilon' \end{bmatrix} (S\bar{z}, \Omega) \exp(\pi i \varepsilon^T S \varepsilon), \quad (45)$$

$$\text{где } S = \begin{pmatrix} 0 & 1 \\ 1 & 0 \end{pmatrix}.$$

Нельзя не отметить, что на вещественных и мнимых торах тэта-функция без характеристик является вещественной, в то время как тэта-функция с характеристиками удовлетворяет следующим соотношениям, получаемым из тождества (45):

$$\overline{\theta \begin{bmatrix} \frac{1}{2} & \frac{1}{2} \\ 0 & \frac{1}{2} \end{bmatrix} (z, \Omega)} = \mp i \theta \begin{bmatrix} \frac{1}{2} & \frac{1}{2} \\ 0 & \frac{1}{2} \end{bmatrix} (z, \Omega) \quad (46)$$

$$\overline{\theta \begin{bmatrix} \frac{1}{2} & \frac{1}{2} \\ \frac{1}{2} & 0 \end{bmatrix} (z, \Omega)} = \mp i \theta \begin{bmatrix} \frac{1}{2} & \frac{1}{2} \\ \frac{1}{2} & 0 \end{bmatrix} (z, \Omega) \quad (47)$$

$$\overline{\theta \begin{bmatrix} 0 & \frac{1}{2} \\ \frac{1}{2} & \frac{1}{2} \end{bmatrix} (z, \Omega)} = \pm \theta \begin{bmatrix} \frac{1}{2} & 0 \\ \frac{1}{2} & 0 \end{bmatrix} (z, \Omega) \quad (48)$$

$$\overline{\theta \begin{bmatrix} \frac{1}{2} & 0 \\ \frac{1}{2} & \frac{1}{2} \end{bmatrix} (z, \Omega)} = \pm \theta \begin{bmatrix} 0 & \frac{1}{2} \\ 0 & \frac{1}{2} \end{bmatrix} (z, \Omega), \quad (49)$$

где верхний знак отвечает аргументу  $z$  с действительного тора, а нижний - с мнимого.

## 4.2 Преобразование и вычисление тэта-функции.

Рассмотрим формулу (36) с учетом того, что  $z = x + iy$ ,  $\Omega = X + iY$  и  $Y = Y^T$  и приведем ее к виду, с которым удобно работать:

$$\begin{aligned}
\theta(z, \Omega) &= \sum_{n \in \mathbf{Z}^2} e^{2\pi i \left( \frac{1}{2} n^T \cdot \Omega \cdot n + n^T \cdot z \right)} = \\
&= \sum_{n \in \mathbf{Z}^2} e^{2\pi i \left( \frac{1}{2} n^T \cdot X \cdot n + n^T \cdot x + i \left( \frac{1}{2} n^T \cdot Y \cdot n + n^T \cdot y \right) \right)} = \\
&= \sum_{n \in \mathbf{Z}^2} e^{2\pi i \left( \frac{1}{2} n^T \cdot X \cdot n + n^T \cdot x \right)} e^{-2\pi \left( \frac{1}{2} n^T \cdot Y \cdot n + n^T \cdot y \right)} = \\
&= \sum_{n \in \mathbf{Z}^2} e^{2\pi i \left( \frac{1}{2} n^T \cdot X \cdot n + n^T \cdot x \right)} e^{-2\pi \left( \frac{1}{2} (n + Y^{-1} \cdot y)^T \cdot Y \cdot (n + Y^{-1} \cdot y) - \frac{1}{2} y^T \cdot Y^{-1} \cdot y \right)} = \\
&= e^{\pi y^T \cdot Y^{-1} \cdot y} \cdot \sum_{n \in \mathbf{Z}^2} e^{2\pi i \left( \frac{1}{2} n^T \cdot X \cdot n + n^T \cdot x \right)} e^{-\pi \left( (n + Y^{-1} \cdot y)^T \cdot Y \cdot (n + Y^{-1} \cdot y) \right)}
\end{aligned} \tag{50}$$

Заметим, что при положительно определенной мнимой части  $\Omega$  множитель перед скобкой растет дважды экспоненциально при росте  $y$ . Под суммой же первая экспонента осциллирует, а вторая - убывает. При этом, как было сказано раньше ряд сходится.

Чтобы реализовать тэта-функцию, необходимо аппроксимировать ее конечным рядом. Для этого существует следующая теорема:

**Теорема.** Тэта-функция Римана  $\theta(z, \Omega)$  аппроксимируется с любой заданной точностью при  $K \rightarrow \infty$  функцией

$$\theta_K(z, \Omega) = e^{\pi y^T \cdot Y^{-1} \cdot y} \cdot \sum_{n \in S_K} e^{2\pi i \left( \frac{1}{2} n^T \cdot X \cdot n + n^T \cdot x \right)} e^{-\|v(n)\|^2} \tag{51}$$

где  $v(n) = \sqrt{\pi} T \cdot (n + Y^{-1} y)$ ,  $T$  - верхняя треугольная матрица, полученная из разложения Холецкого матрицы  $Y$ , то есть  $Y = T^T T$ ,  $S_K = \{n \in \mathbf{Z}^2 \mid \|v(n)\| < K\}$ .

Такой метод аппроксимации требует определения множества  $S_K$ . Оно состоит из точек  $(n_1, n_2) \in \mathbf{Z}^2$ , лежащих внутри эллипса заданного уравнением  $\|v(n)\| = K$ , т. е.  $\pi(n - c)^T Y (n - c) = K^2$ , где  $c$  - центр эллипса. В целях упрощения задачи, расширим эллипс до описанного прямоугольника, при этом только увеличив точность расчетов, немного сократив их скорость.

Найдем  $(n_1, n_2)$  из  $\|T(n - c)\| < \frac{K}{\sqrt{\pi}}$  и пользуясь тем, что  $T$  - верхняя треугольная матрица:

$$T = \begin{pmatrix} T_{11} & T_{12} \\ 0 & T_{22} \end{pmatrix}$$

$$\text{то } |T_{22}(n_2 - c_2)| < \frac{K}{\pi} \quad c_2 - \frac{K}{\sqrt{\pi} T_{22}} < n_2 < c_2 + \frac{K}{\sqrt{\pi} T_{22}}$$

Это неравенство определяет те  $n_2$ , которые нам необходимо учитывать. Теперь получим такое же неравенство для  $n_1$ :

$$|T_{11}(n_1 - c_1) + T_{12}(n_2 - c_2)|^2 + T_{22}^2(n_2 - c_2)^2 < K^2/\pi$$

$$|T_{11}(n_1 - c_1) + T_{11}^{-1}T_{12}(n_2 - c_2)| < \sqrt{K^2/\pi - T_{22}^2(n_2 - c_2)^2}.$$

## 5 Система уравнений и ее запись в терминах тэта-функций.

В этом параграфе мы объединим все полученные до этого результаты. Для нахождения наилучшего приведенного многочлена устойчивости, необходимо решить систему, составленную из уравнений связи (6) – (8) и уравнений Абеля (31) и (33).

**Теорема.** Данная система имеет единственное решение  $M$  в пространстве модулей. Функция  $P_n(x)$ , вычисленная в этой точке и будет наилучшим приведенным многочленом устойчивости.

Теперь мы хотим переписать данную систему с терминах тэта-функций для эффективных вычислений. Для этого воспользуемся следующей теоремой:

**Теорема Римана.** Фиксируем две точки  $q_1, q_2 \in M$ , тогда функция

$$f(p) = \theta(\varphi(p) - \varphi(q_1) - \varphi(q_2) - \mathcal{K}, \Omega), \quad p \in M, \quad (52)$$

где  $\mathcal{K}$  -вектор римановых констант, тождественно равна нулю, если  $q_1 = Jq_2$ . Если  $q_1 \neq Jq_2$ , то функция обращается в нуль ровно в двух точках —  $q_1$  и  $q_2$ .

**Уравнение кривой  $M$ :**

Пусть  $q_1 = q_2 = p_1 = (0, 0)$ . Тогда, пользуясь соотношением (29) для вектора римановых констант, получаем уравнение для кривой  $M$  в якобиане:

$$\theta\left(u + \frac{1}{2}(\Omega^1 + \Omega^2 + e^2), \Omega\right) = 0, \quad (53)$$

или в виде тэта-функции с характеристиками:

$$\theta\left[\begin{array}{c} \frac{1}{2} \quad \frac{1}{2} \\ 0 \quad \frac{1}{2} \end{array}\right](u, \Omega) = 0, \quad (54)$$

где  $u \in Jac \cap \varphi(M)$

**Уравнения Абеля:**

$$\theta\left[\begin{array}{c} \frac{1}{2} \quad \frac{1}{2} \\ 0 \quad \frac{1}{2} \end{array}\right](\varphi(\infty_+), \Omega) = 0, \quad (55)$$

где  $\varphi(\infty_+)$  дана в терминах матрицы  $\Omega$  в формуле (35).

**Выражение для переменной  $x(u)$ :**

Теорема Римана также позволяет получить несколько эквивалентных формул для представления функций  $x(u)$  и  $\widetilde{P}_n(u)$ . Для упрощения дальнейших выкладок и численной реализации формул, мы подберем такие представления, что функции  $x(u)$  и  $P(u)$  были бы четными и вещественными на торах  $Jac_R$  и  $Jac_I$ .

Функция  $x(u)$  является мероморфной и имеет нуль второго порядка в точке  $p_1$  и простые полюса в точках  $\infty_+$  и  $\infty_-$ . Поэтому справедливо следующее выражение:

$$x(u) = \text{const} \frac{\theta^2 \begin{bmatrix} \epsilon \\ \epsilon' \end{bmatrix} (u, \Omega)}{\prod_{\pm} \theta \begin{bmatrix} \epsilon \\ \epsilon' \end{bmatrix} (u \pm \varphi(\infty_+), \Omega)}, \quad (56)$$

где  $\begin{bmatrix} \epsilon \\ \epsilon' \end{bmatrix} = \begin{bmatrix} \frac{1}{2} & \frac{1}{2} \\ \frac{1}{2} & 0 \end{bmatrix}$ . Числитель в правой части (56) имеет два нуля второго порядка в точках  $p_1$  и  $p_2$ , а знаменатель два простых нуля в точках  $\infty_+$  и  $\infty_-$ , и ноль второго порядка в точке  $p_2$ . Постоянный множитель в уравнении определяется из условия нормировки  $x(p_2) = -1$ :

$$\text{const} = - \frac{\prod_{\pm} (S \cdot \text{grad} \theta(u), \text{grad} \theta_{\pm}(u))}{(S \cdot \text{grad} \theta(u), \text{grad} \theta_0(u))^2} \Big|_{u=(\frac{1}{2}, \frac{1}{2})}, \quad (57)$$

где  $\theta(u) = \theta \begin{bmatrix} \frac{1}{2} & \frac{1}{2} \\ 0 & \frac{1}{2} \end{bmatrix} (u, \Omega)$ ,  $\theta_0(u) = \theta \begin{bmatrix} \frac{1}{2} & \frac{1}{2} \\ \frac{1}{2} & 0 \end{bmatrix} (u, \Omega)$  и  $\theta_{\pm}(u) = \theta \begin{bmatrix} \frac{1}{2} & \frac{1}{2} \\ \frac{1}{2} & 0 \end{bmatrix} (u, \Omega)$ ,  
 $S = \begin{pmatrix} 0 & 1 \\ -1 & 0 \end{pmatrix}$ .

Также есть и другие формулы для  $x(u)$ , в работе они использовались исключительно для тестирования корректности работы программы:

•

$$x_1(u) = \text{const}_1 \frac{\theta \begin{bmatrix} \frac{1}{2} & 0 \\ \frac{1}{2} & 0 \end{bmatrix} (u, \Omega) \cdot \theta \begin{bmatrix} 0 & \frac{1}{2} \\ \frac{1}{2} & \frac{1}{2} \end{bmatrix} (u, \Omega)}{\theta \begin{bmatrix} \frac{1}{2} & 0 \\ \frac{1}{2} & 0 \end{bmatrix} (u - \varphi(\infty_+), \Omega) \cdot \theta \begin{bmatrix} 0 & \frac{1}{2} \\ \frac{1}{2} & \frac{1}{2} \end{bmatrix} (u + \varphi(\infty_+), \Omega)},$$

где

$$\text{const}_1 = - \frac{\theta \begin{bmatrix} \frac{1}{2} & 0 \\ 0 & \frac{1}{2} \end{bmatrix} (\varphi(\infty_+), \Omega) \cdot \theta \begin{bmatrix} 0 & \frac{1}{2} \\ 0 & 0 \end{bmatrix} (\varphi(\infty_+), \Omega)}{\theta \begin{bmatrix} \frac{1}{2} & 0 \\ 0 & \frac{1}{2} \end{bmatrix} (0, \Omega) \cdot \theta \begin{bmatrix} 0 & \frac{1}{2} \\ 0 & 0 \end{bmatrix} (0, \Omega)}$$

•

$$x_2(u) = \text{const}_2 \frac{\theta \begin{bmatrix} \frac{1}{2} & 0 \\ \frac{1}{2} & \frac{1}{2} \end{bmatrix} (u, \Omega) \cdot \theta \begin{bmatrix} 0 & \frac{1}{2} \\ 0 & \frac{1}{2} \end{bmatrix} (u, \Omega)}{\theta \begin{bmatrix} \frac{1}{2} & 0 \\ \frac{1}{2} & \frac{1}{2} \end{bmatrix} (u - \varphi(\infty_+), \Omega) \cdot \theta \begin{bmatrix} 0 & \frac{1}{2} \\ 0 & \frac{1}{2} \end{bmatrix} (u + \varphi(\infty_+), \Omega)},$$

где

$$\text{const}_2 = - \frac{\theta \begin{bmatrix} \frac{1}{2} & 0 \\ 0 & 0 \end{bmatrix} (\varphi(\infty_+), \Omega) \cdot \theta \begin{bmatrix} 0 & \frac{1}{2} \\ \frac{1}{2} & 0 \end{bmatrix} (\varphi(\infty_+), \Omega)}{\theta \begin{bmatrix} \frac{1}{2} & 0 \\ 0 & 0 \end{bmatrix} (0, \Omega) \cdot \theta \begin{bmatrix} 0 & \frac{1}{2} \\ \frac{1}{2} & 0 \end{bmatrix} (0, \Omega)}$$



**Выражение для  $\widetilde{P}_n(u)$ :**

$$\widetilde{P}_n(u) = (-1)^n \left( \frac{\theta \begin{bmatrix} \epsilon \\ \epsilon' \end{bmatrix} (u + \varphi(\infty_+), \Omega)}{\theta \begin{bmatrix} \epsilon \\ \epsilon' \end{bmatrix} (u - \varphi(\infty_+), \Omega)} \right)^n \cdot \exp(2\pi i u^T (1, -1)) \quad (58)$$

где характеристика тэта-функции та же, что и в формуле (56). Числитель (58) имеет два нуля  $n$ -ого порядка в точках  $p_2$  и  $\infty_+$ . Экспоненциальный множитель вводится для однозначности функции  $\widetilde{P}_n(u)$ .

**Уравнения связей:**

Теперь из уравнений (56), (58), и учитывая то, что точка  $u$  лежит на кривой  $M$ , можно получить выражения (6) - (8) через производные  $dP/du$  и  $dx/du$ . Также используем то, что точка  $(u_1, u_2)$  лежит на кривой, то есть выполнено (54) и следовательно  $d\theta_1 du_1 + d\theta_2 du_2 = 0$ .

$$\frac{dP}{dx} = \frac{P_1 du_1 + P_2 du_2}{x_1 du_1 + x_2 du_2} = \frac{\theta_2 P_1 - \theta_1 P_2}{\theta_2 x_1 - \theta_1 x_2}, \quad (59)$$

где индексы 1 и 2 обозначают частные производные по переменным  $u_1$  и  $u_2$  соответственно.

$$\frac{d^2 P}{dx^2} = \dots = \frac{1}{(\theta_2 x_1 - \theta_1 x_2)^2} \cdot \left[ \theta_2 \cdot (1, P) - \theta_1 \cdot (2, P) - \frac{dP}{dx} \cdot (\theta_2 \cdot (1, x) - \theta_1 \cdot (2, x)) \right], \quad (60)$$

здесь скобки  $(1, f)$  и  $(2, f)$  обозначают производную выражения  $(\theta_2 f_1 - \theta_1 f_2)$  по переменной  $u_1$  и  $u_2$  соответственно.

$$\begin{aligned} \frac{d^3 P}{dx^3} = \dots = & -3 \frac{d^2 P}{dx^3} \frac{(\theta_2 \cdot (1, x) - \theta_1 \cdot (2, x))}{(\theta_2 x_1 - \theta_1 x_2)^2} + \\ & + \frac{1}{(\theta_2 x_1 - \theta_1 x_2)^3} \cdot \left[ \theta_2 \frac{d(\theta_2 \cdot (1, P) - \theta_1 \cdot (2, P))}{du_1} - \theta_1 \frac{d(\theta_2 \cdot (1, P) - \theta_1 \cdot (2, P))}{du_2} - \right. \\ & \left. - \frac{dP}{dx} \left( \theta_2 \frac{d(\theta_2 \cdot (1, x) - \theta_1 \cdot (2, x))}{du_1} - \theta_1 \frac{d(\theta_2 \cdot (1, x) - \theta_1 \cdot (2, x))}{du_2} \right) \right]. \end{aligned} \quad (61)$$

Получаем уравнения связей для приведенного многочлена (в точке  $u^*$ , такой что  $x(u^*) = x^*$ ):

$$P_n(x^*) = \frac{1}{2} \left( \widetilde{P}_n(u^*) + \frac{1}{\widetilde{P}_n(u^*)} \right) = \frac{1}{\mu}, \quad (62)$$

$$\frac{d^2 P/dx^2}{(dP/dx)^2} = \mu, \quad (63)$$

$$\frac{d^3 P/dx^3}{(dP/dx)^3} = \mu^2, \quad (64)$$

## 6 Результаты.

Полученная система уравнений (54), (55), (62) - (64) в 5-мерном вещественном пространстве, состоящем из 3 вещественных компонент матрицы периодов  $\Omega$  и 2 координат на кривой  $(u_1, u_2)$ , может быть решена при помощи многомерного метода Ньютона.

В рамках работы была написана программа по нахождению решения данной системы, из которого в дальнейшем восстанавливается искомый многочлен. Так как нас интересовало нахождение величины шага  $\tau_i$ , то также было реализовано нахождение корней данного многочлена.

Начальное приближение было найдено путем применения всех шагов метода для многочлена степени  $n = 3$  и  $m = 2$ :  $P_3(x) = 1 + x + \frac{x^2}{2} + \frac{x^3}{3}$ , учитывая димпфирование с показателем  $\mu$ . Для такого многочлена известны  $L$ ,  $\delta$ ,  $x^*$  и можно найти все точки ветвления кривой, а значит и матрицу периодов из выражений (18) - (19). Далее это решение может быть использовано, как начальное приближение для решения системы для любого  $n$  и  $m = 2$ . Чтобы найти решение для любого другого целого  $m'$ , необходимо воспользоваться фактом, что если для данного  $m$  известно решение:  $\Omega$ , то для  $(m + 1)$  решением будет  $\Omega + \begin{pmatrix} 1 & 0 \\ 0 & -1 \end{pmatrix}$ .

## Список литературы

- [1] Мамфорд Д. Лекции о тэта-функциях. - Пер. с англ. - М.: Мир, 1983.
- [2] Springer D. Introduction to Riemann Surfaces // American Mathematical Society, 2002
- [3] B. Deconinck, M. Heil, A. Bobenko, M. van Hoeij, M. Schmies. Computing Riemann Theta Functions. June 11, 2002.
- [4] Тыртышников Е. Е. Краткий курс численного анализа. М.: ВИНТИ, 1994.
- [5] А. Гурвиц, Р. Курант. Теория функций. М.: Наука 1968
- [6] Богатырев А. Б. Многообразие опорных множеств многочленов Чебышева. Математические заметки. Том 67 выпуск 6 июня 2000.
- [7] Анализ методов дискретизации для обыкновенных дифференциальных уравнений. М.: Мир, 1978
- [8] Хайпер Е., Ваннер Г. Решение обыкновенных дифференциальных уравнений: жесткие и дифференциально-алгебраические задачи. М.: Мир, 1999
- [9] Lebedev V. I. Zolotarev polynomials and extremum problems // Russian J. Numer. Anal. Math. Modelling. 1994. V. 9. №3. P. 231-263.
- [10] Lebedev V.I. A new method for determining the roots of polynomials of least deviation on a segment with weight and subject to additional conditions. I, II // Russian J. Numer. Anal. Math. Modelling. 1993. V. 8. №5. P. 397-426.
- [11] Abdulle A. On roots and error constants of optimal stability polynomials // BIT. 2000. V. 40. №1. P. 177-182.
- [12] Богатырев А. Б. Представление пространств модулей кривых и вычисление экстремальных многочленов // Матем. сб. 2003. Е. 194. №4. С. 3-28.
- [13] Богатырев А. Б. Эффективный подход к задачам о наименьшем уклонении // Матем. сб. 2002. Е. 193. №12. С. 21-40.
- [14] Богатырев А. Б. Комбинаторное описание пространства модулей кривых и экстремальных многочленов // Матем. сб. 2003. Е. 194. №10. С. 27-48.
- [15] Бернштейн С. Н. Экстремальные свойства многочленов. М.-Л.: ОНТИ, 1982
- [16] Богатырев А.Б. Эффективное решение задачи о наилучшем многочлене устойчивости. // Матем. сб. 2005. Т. 196. №7. С. 27-36.
- [17] Асфандияров А. Г. Вычисление наилучшего многочлена устойчивости при помощи тэта-функций.
- [18] Ярмоллов Д. В. Эффективное решение задачи о демпфированном наилучшем многочлене устойчивости.